

بررسی آزمایشگاهی پیوستگی بین آرماتورهای پلیمری مسلح به الیاف شیشه (GFRP) و بتن در نمونه‌های تیری و صله‌دار

مهدالله رخشانی‌مهر (دانشجوی دکتری)

محمد رضا اصفهانی* (استاد)

گروه مهندسی عمران، دانشگاه فردوسی مشهد

سیدروح‌الله موسوی (استادیار)

دانشکده‌ی مهندسی عمران، دانشگاه سیستان و بلوچستان

مهمنگی عرضه شده، (پیاپی ۱۳۹۴)،
دوری ۳، شماره ۱، ص ۱۳-۲۳

نتایج آزمایشگاهی گذشته در مورد پیوستگی بین بتن و آرماتور در نمونه‌های تیری و صله‌دار مسلح به آرماتورهای پلیمری الیافی (FRPR)^۱ کافی به نظر نمی‌رسد. علاوه بر این، تحقیقات کی در رابطه با اثر آرماتور جانی اطراف وصله در رفتار پیوستگی بین آرماتورهای FRP و بتن صورت گرفته است. در این نوشتار، ۱۵ نمونه‌ی تیری و صله‌دار مسلح به آرماتورهای پلیمری مسلح به الیاف شیشه (GFRP)^۲ ساخته و آزمایش شدند. به کمک نتایج آزمایش اثر آرماتور جانی وصله و مشخصات سطح ظاهری آرماتور در پیوستگی بین آرماتورهای GFRP و بتن بررسی شد. نتایج نشان می‌دهند که اثر آرماتور جانی وصله در پیوستگی بین بتن و آرماتور بسته به مشخصات سطح ظاهری آرماتور متفاوت است. علاوه بر این، به کمک نتایج نمونه‌های آزمایشی این پژوهش و نتایج آزمایش‌های موجود در سایر پژوهش‌ها ضوابط آینه‌های ۶۰-۲ CAN/CSA-S8۰ و ACI ۴۴۰، IR-۰۶ برای تعیین مقاومت پیوستگی مورد ارزیابی قرار گرفتند.

rakhsh_77@yahoo.com
esfahani@um.ac.ir
s.r.mousavi@endg.usb.ac.ir

وازگان کلیدی: آرماتور پلیمری مسلح الیافی (FRP)، آرماتور جانبی، تیر بتن آرمه، مقاومت پیوستگی، وصله.

۱. مقدمه

نتایج آزمایشگاهی موجود به منظور بررسی پیوستگی بین آرماتور و بتن در نمونه‌های تیری و صله‌دار کافی به نظر نمی‌رسد.^[۱-۶] علاوه بر این، در رابطه با اثر آرماتور جانبی وصله در پیوستگی بین آرماتورهای FRP و بتن در نمونه‌های تیری وصله‌دار تحقیقات کمی صورت گرفته است. از سوی دیگر در تحقیقات انجام شده در مورد اثر آرماتور جانبی وصله در پیوستگی آرماتورهای FRP اختلاف‌هایی وجود دارد. طبق مطالعات پژوهشگران نشنان داده شد که آرماتور جانبی وصله در مقاومت پیوستگی آرماتورهای FRP و بتن تأثیری ندارد.^[۷] برخی پژوهشگران نیز در پژوهش خود نشان دادند که اثر آرماتور جانبی وصله در آرماتورهای فولادی با سطح نسبی آج زیاد، بیشتر از اثر آنها در آرماتورهای فولادی با سطح نسبی آج کم است.^[۸] بر این اساس، با توجه به اینکه سطح نسبی آج در آرماتورهای FRP کم است، در آینه‌های ACI ۴۴۰، IR-۰۶، از اثر آرماتور جانبی وصله در محاسبات مقاومت پیوستگی کافی بین بتن و آرماتور در طول وصله، نیازی ضروری برای طراحی سازه‌های FRP در نمونه‌های تیری وصله‌دار افزایش می‌یابد.^[۹] و همچنین آرماتور جانبی وصله، مقاومت پیوستگی آرماتورهای FRP و بتن را افزایش می‌دهد.^[۱۰]

آرماتورهای پلیمری مسلح الیافی (FRPR) به عنوان مسلح‌کننده در سازه‌های بتن مسلح در معرض خوردگی کاربرد دارند. خصوصیات فوق العاده‌ی FRP مانند سبکی، مقاومت در برابر خوردگی و پایداری در برابر خستگی سبب شده است تا در سال‌های اخیر استفاده از FRP رشد چشمگیری داشته باشد.^[۱] از طرف دیگر رفتار کشسان خطی (تا لحظه‌ی شکست)، مدول کشسانی پایین و خصوصیات ناهمگن آرماتورهای FRP سبب شده است تا رفتار پیوستگی این آرماتور با بتن، نسبت به آرماتورهای فولادی کاملاً متفاوت باشد.^[۱-۲] کارایی یک عضو بتن مسلح به پیوستگی بین بتن و آرماتور بستگی دارد. عوامل متعددی در پیوستگی بین بتن و آرماتور FRP مؤثر هستند، که مؤثرترین آنها عبارت‌اند از: ضخامت پوشش بتن، قطر، مدول کشسانی و طول پیوستگی آرماتور.^[۵,۶,۱۱] وصله‌ی آرماتورها یکی از جنبه‌های عملی پیوستگی بین بتن و آرماتور است. تأمین پیوستگی کافی بین بتن و آرماتور در طول وصله، نیازی ضروری برای طراحی سازه‌های بتن آرمه به شمار می‌آید.

* نویسنده مسئول
تاریخ: دریافت ۳۰/۷/۱۳۹۰، اصلاحیه ۱۹/۱، پذیرش ۱۳۹۱/۷/۸.

شود، یا به عبارت دیگر، آرماتورهای کششی قبل از شکست پیوستگی گسیخته نشوند، طول وصله‌ی این نمونه‌ها به اندازه‌ی کافی کوتاه در نظر گرفته شد. نمونه‌ها به این صورت نام‌گذاری شدند: حرف اول نشان‌دهنده‌ی نوع آرماتور است (حرف R مربوط به آرماتورهای آج دار و حرف S نشان‌دهنده‌ی آرماتورهای ماسه‌پاشی شده است)، عدد نخست قطر آرماتور طولی و وصله شده بر حسب میلی‌متر، عدد دوم نمایانگر مقاومت بتون بر حسب مگاپاسکال، حرف آخر S نشان‌دهنده‌ی حضور آرماتور جانبی وصله و عدد آخر فاصله‌ی آرماتورهای جانبی وصله بر حسب میلی‌متر را نشان می‌دهد. مثلاً نمونه‌ی R_{16-40-S} ۱۵۰ مگاپاسکال و آرماتور آج دار به قطر ۱۶ میلی‌متر، از بتون با مقاومت فشاری ۴۰ مگاپاسکال و آرماتور جانبی به فاصله‌ی ۱۵۰ میلی‌متر ساخته شده است. نمونه‌های R_{16-40-NC} و S_{10-40-NC} به ترتیب نمونه‌های بدون آرماتور جانبی ساخته شده از آرماتورهای آج دار و ماسه‌پاشی شده و نمونه‌ی NS، نمونه‌ی بدون وصله هستند.

۲.۲. مشخصات مصالح

دو نوع بتون با مقاومت معمولی (۴۰ مگاپاسکال) و مقاومت بالا (۷۰ مگاپاسکال) در ساخت نمونه‌ها به کار گرفته شد. برای ساخت بتون با مقاومت ۴۰ مگاپاسکال از سیمان تیپ ۲ با نسبت آب به مواد سیمانی ۴۵٪ استفاده شد و بیشینه‌ی اندازه‌ی سنگ‌دانه‌ها در این بتون ۲۵ میلی‌متر بود. برای ساخت بتون با مقاومت ۷۰ مگاپاسکال

در این نوشтар، ۱۵ نمونه‌ی تیری وصله‌دار مسلح به آرماتورهای پلیمری مسلح به الیاف شیشه ساخته و آزمایش شدند. در این نمونه‌ها از دو نوع آرماتور آج دار^۳ و ماسه‌پاشی شده^۴ استفاده شد. در ۱۲ نمونه از مجموع ۱۵ نمونه‌ی فوق، از آرماتور جانبی وصله استفاده و ۲ نمونه‌ی بدون آرماتور جانبی وصله نیز ساخته شده است. بررسی شکل‌پذیری نمونه‌های وصله‌دار یک نمونه‌ی بدون وصله نیز آزمایش شد. به کمک نتایج آزمایش، علاوه‌بر بررسی اثر پارامترهای مهم مؤثر در پیوستگی آرماتور جانبی وصله، مقاومت بتون، قطر آرماتور کششی و مشخصات سطح ظاهری آرماتور را طبقه‌های آینه‌های ۲ CAN/CSA-S806-۰۲^[۱]، ACI ۴۰۰/۱R-۰۶^[۲] برای محاسبه‌ی مقاومت پیوستگی تیرهای GFRP و وصله‌دار مورد ارزیابی قرار گرفتند.

۲. ب. برنامه‌ی آزمایشگاهی

۱.۲. نمونه‌های آزمایشگاهی

جدول ۱، مشخصات نمونه‌های آزمایشگاهی را نشان می‌دهد. در هر یک از نمونه‌ها از ۲ آرماتور طولی کششی در قسمت پایین مقطع عرضی استفاده و در قسمت میانی تیر وصله شدند. ابعاد کلی مقطع عرضی تیرها 200×150 میلی‌متر بود. برای اینکه از شکست تیرها به صورت پیوستگی (شکافت^۵ یا بیرون کشیدگی^۶ اطمینان حاصل

جدول ۱. مشخصات تیرهای نمونه.

نمونه	نوع آرماتور	f'_c (MPa)	d_b (mm)	L (mm)	قطر خاموت (mm)	S (mm)	C_{w}^{**} (mm)	C_y (mm)	C_s (mm)	f_u^* (MPa)	$E_{f_{rp}}^*$ (GPa)
R _{16-40-NC}						-	۳۰	۲۵	۲۵	۱۱۸۰	۶۰
R _{16-40-S150}		۴۰	۱۶	۴۰۰	۸	۱۵۰	۳۰	۲۵	۲۵	۱۱۸۰	۶۰
R _{16-40-S100}						۱۰۰	۳۰	۲۵	۲۵	۱۱۸۰	۶۰
R _{16-40-S50}						۵۰	۳۰	۲۵	۲۵	۱۱۸۰	۶۰
R _{12-40-S150}						۱۵۰	۴۵	۲۵	۱۵	۱۲۵۰	۶۰
R _{12-40-S100}	آج دار	۴۰	۱۲	۴۰۰	۸	۱۰۰	۴۵	۲۵	۱۵	۱۲۵۰	۶۰
R _{12-40-S50}						۵۰	۴۵	۲۵	۱۵	۱۲۵۰	۶۰
R _{12-70-S150}						۱۵۰	۴۵	۲۵	۱۵	۱۲۵۰	۶۰
R _{12-70-S100}		۷۰	۱۲	۴۰۰	۸	۱۰۰	۴۵	۲۵	۱۵	۱۲۵۰	۶۰
R _{12-70-S50}						۵۰	۴۵	۲۵	۱۵	۱۲۵۰	۶۰
S _{10-40-NS}			-	-	-	۳۰	۳۰	۵۰	۷۲۵	۳۷	
S _{10-40-NC}	ماسه‌پاشی شده	۴۰	۱۰	۱۸۰	۸	-	۳۰	۳۰	۵۰	۷۲۵	۳۷
S _{10-40-SA0}						۸۰	۳۰	۳۰	۵۰	۷۲۵	۳۷
S _{10-40-S21}						۲۱	۳۰	۳۰	۵۰	۷۲۵	۳۷
S _{16-40-S50}			۱۶	۲۸۰	۸	۵۰	۳۰	۳۰	۵۰	۷۰۰	۴۱

* مشخصات مکانیکی آرماتورها به کمک آزمایش کشش به دست آمدند.
** اعداد با خطای $\pm 1/5$ میلی‌متر گرد شده‌اند.

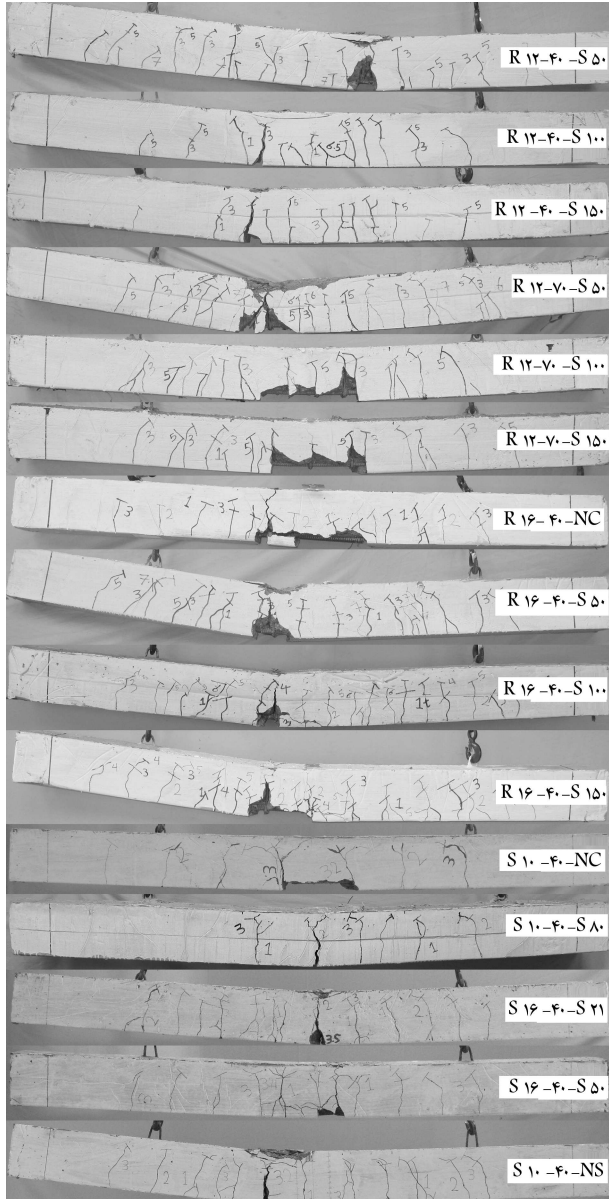
و سطح تیر با خطکش اندازه‌گیری تغییرمکان (LVDT)^۹ به دستگاه ثبت داده‌های منتقل می‌شوند و خیز تجربی تیرهای مسلح شده با GFRP در وسط دهانه برداشت می‌شود. داده‌های خروجی از Load cell و LVDT با سیستم جمع‌آوری هم‌زمان اطلاعات در گام‌های زمانی یک‌ثانیه به‌وسیله‌ی دستگاه ثبت داده‌ها و رایانه ثبت شد. باز به صورت نموی به نمونه اعمال شد و پس از هر گام بازگذاری معادل ۲۰ کیلویوتون، ترک‌های مشاهده شده روی سطح تیر علامت زده شدند.

۳. نتایج آزمایش

۱.۱. شکل شکست و توزیع ترک‌ها

تصویر تمام نمونه‌ها پس از شکست در شکل ۳ به نمایش درآمده است. شکست تمام نمونه‌های ساخته شده از آرماتورهای آج دار و نمونه‌های S10-۴۰-NC و

S10-۴۰-NS به دستگاه استفاده شد و نسبت آب به مواد سیمانی ۰/۳ بود. بیشینه‌ی اندازه‌ی دانه‌های مصالح سنگی در این نوع بتن به ۱۲ میلی‌متر محدود شد. برای تعیین مقاومت فشاری هر یک از تیرهای نمونه، برای هر تیر ۶ نمونه استوانه‌بی استاندارد به ابعاد 150×300 میلی‌متر تهیه و در شرایط مشابه تیرهای نمونه عمل آوری شد. دو نوع آرماتور آج دار به قطرهای ۱۲ و ۱۶ و ماسه‌پاشی شده به قطرهای ۱۰ و ۱۶ میلی‌متر در ساخت نمونه‌ها به کار رفت. آرماتورهای طولی از الیاف شیشه (GFRP) با زین و بینیل استر ساخته شده‌اند. برای اطمینان از مشخصات مکانیکی ارائه شده توسط کارخانه سازنده آرماتورها، آزمایش کشش روی نمونه‌هایی از آرماتورهای GFRP انجام شد. مشخصات مکانیکی به دست آمده از آزمایش کشش شامل مقاومت کششی نهایی و مدول کشسانی آرماتورها در جدول ۱ ارائه شده‌اند. در این نمونه‌ها از آرماتورهای فولادی به قطر ۸ میلی‌متر به عنوان آرماتور فشاری و آرماتور جانبی استفاده شده است. تصویر مشخصات سطح ظاهری آرماتورهای آج دار و ماسه‌پاشی شده در شکل ۱ نشان داده شده است.



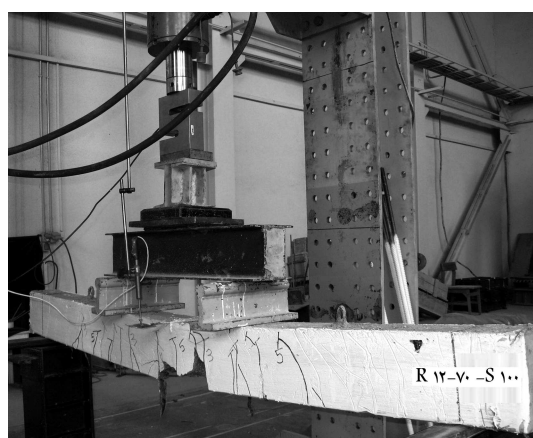
شکل ۳. تیرهای نمونه پس از آزمایش.

۳.۲. دستگاه و روند آزمایش

مطابق شکل ۲، نیرو به‌وسیله‌ی یک جک هیدرولیکی به ظرفیت ۶۰۰ کیلویوتون و یک تیر توزیع‌کننده‌ی فولادی صلب به صورت بار دو نقطه‌یی به فاصله‌ی ۶۰۰ میلی‌متر به تیر نمونه‌ی آزمایشگاهی وارد شد. در بالای تیر توزیع‌کننده‌ی بار و در زیر جک هیدرولیکی یک عدد نیروسنجه الکتریکی^۷ قرار داده شد تا به کمک آن و دستگاه دریافت و ثبت داده‌ها^۸، نیروها مستقیماً قرائت شوند. همچنین تغییرمکان



شکل ۱. مشخصات سطح ظاهری آرماتورها.



شکل ۲. دستگاه آزمایش نمونه‌ها.

که ملاحظه می‌شود، هیچ یک از تیرهای جدول ۲ به هنگام شکست به تنش نهایی (f_u) دسترسی پیدا نکرده‌اند. این موضوع نشان می‌دهد که شکست تیرها به صورت پیوستگی اتفاق افتاده است.

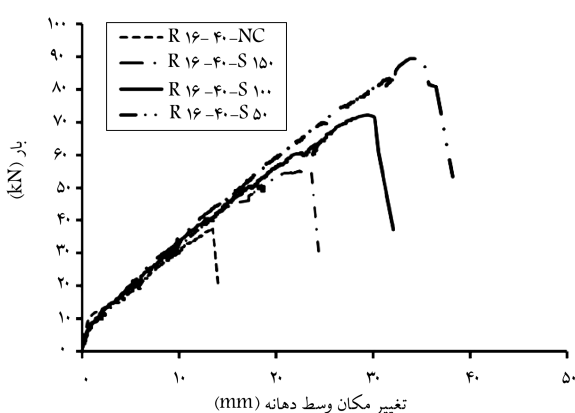
۳.۳. اثر آرماتور جانبی و صله

نمودار بار-تغییرمکان وسط دهانه نمونه‌های R_{16-40-NC}, R_{16-40-S150}, R_{16-40-S100}, R_{16-40-S50} و R_{16-40-S10} در شکل ۴ نشان داده شده است. تمام این نمونه‌ها از آرماتورهای آج دار به قطر ۱۶ میلی‌متر و بتن با مقاومت ۴۰ مگاپاسکال ساخته شده‌اند. متغیر این نمونه‌ها فقط فاصله‌ی آرماتور جانبی و صله است، به طوری که نمونه‌ی R_{16-40-NC} بدون آرماتور جانبی و صله و فاصله‌ی آرماتور جانبی و صله در سایر نمونه‌ها از ۵۰ تا ۱۵۰ میلی‌متر تغییر می‌کند. بار نهایی و مقاومت پیوستگی هر یک از این نمونه‌ها در جدول ۲ ارائه شده است. با توجه به شکل ۴ و جدول ۲ می‌توان نتیجه گرفت که با کاهش فاصله‌ی آرماتور جانبی و صله، بار نهایی (ستون ۵ در جدول ۲) و مقاومت پیوستگی (ستون ۷ در جدول ۲) افزایش پیدا می‌کند، به طوری که مقاومت پیوستگی نمونه‌ی R_{16-40-S50} حدود ۲/۴ برابر مقاومت پیوستگی نمونه‌ی بدون آرماتور جانبی R_{16-40-NC} است.

اثر آرماتورگذاری جانبی و صله با مقایسه نمونه‌های با مقاومت معمولی نمودار بار-تغییرمکان نمونه‌های R_{12-40-S100}, R_{12-40-S50} و R_{12-40-S150} در شکل ۵ و نمونه‌های با مقاومت بالای R_{12-70-S150}, R_{12-70-S50} و R_{12-70-S100} در شکل ۶ قابل بررسی است. بار نهایی و مقاومت پیوستگی این نمونه‌ها در جدول ۲ ارائه شده‌اند. با کاهش فاصله‌ی آرماتور جانبی و صله، بار نهایی و مقاومت پیوستگی این نمونه‌ها نیز افزایش پیدا می‌کند.

اثر آرماتور جانبی و صله در آرماتورهای ماسه‌پاشی شده را می‌توان با مقایسه نمودار بار-تغییرمکان نمونه‌های R_{10-40-S80}, R_{10-40-S21} و R_{10-40-NC} در شکل ۷ بررسی کرد. بار نهایی و مقاومت پیوستگی این نمونه‌ها به ترتیب در ستون‌های ۵ و ۷ در جدول ۲ ارائه شده است. چنان‌که ملاحظه می‌شود در نمونه‌های ساخته شده از آرماتورهای ماسه‌پاشی شده، آرماتور جانبی و صله اثر چندانی در بار نهایی و مقاومت پیوستگی نمونه‌ها ندارد.

بر اساس آنچه در رابطه با اثر آرماتور جانبی و صله در مقاومت پیوستگی بین بتن و آرماتور (آج دار و ماسه‌پاشی شده) در نمونه‌های تیری و صله دار ارائه شد، می‌توان نتیجه گرفت که اثر آرماتور جانبی و صله در آرماتورهای GFRP تابعی از مشخصات



شکل ۴. نمودار بار-تغییرمکان نمونه‌های R₁₅₀-S₁₅₀, R_{16-40-NC}, R_{16-40-S50} و R_{16-40-S100}.

شد. در برخی نمونه‌ها مانند نمونه‌های بدون آرماتور جانبی و صله R_{16-40-NC} و R_{16-40-S150} یا نمونه‌های ساخته شده از بتن با مقاومت بالا و با آرماتورهای جانبی با فاصله‌ی زیاد (R_{12-70-S150}, R_{12-70-S100}) شکست نمونه‌ها با وجود آمدن ترک‌های طولی در راستای آرماتورهای کششی در ناحیه‌ی وصله، در دو بخش جانبی و تحتانی تیر همراه بود. ایجاد ترک‌های طولی در این دو بخش باعث ریختن بتن اطراف آرماتورها می‌شود (شکل ۳). شکست این نمونه‌ها به طور ناگهانی و با صدای بلند همراه بود. در نمونه‌های R_{16-40-S150} و R_{16-40-S100} نیز

چنین رفتاری مشاهده شد.

با کاهش فاصله‌ی آرماتورهای جانبی و صله در نمونه‌های R_{12-70-S50}, R_{12-40-S50} و R_{16-40-S50} ترک‌های طولی فقط در قسمت تحتانی تیر مشاهده شد. در این نمونه‌ها حضور آرماتور جانبی و صله علاوه‌بر اینکه باعث کندشدن رشد ترک‌ها می‌شود، از بروز ترک‌های جانبی طولی در راستای آرماتورهای وصله شده جلوگیری می‌کند. در این نمونه‌ها ریختن اطراف آرماتور همراه بود. در نمونه‌های ساخته شده از آرماتورهای ماسه‌پاشی شده به دلیل پاشی شده در حوالگیری می‌کند. در این نمونه‌ها حضور آرماتور جانبی و صله علاوه‌بر اینکه باعث کندشدن مدل کشسانی این آرماتورها نسبت به آرماتورهای آج دار، ترک‌های مقطع عمیق‌تر بود. همان‌طور که اشاره شد، شکست نمونه‌ی R_{10-40-NC} که از آرماتورهای ماسه‌پاشی شده در نمونه‌های ساخته شده و بدون آرماتور جانبی و صله است، از نوع شکافت بود. در حالی‌که در نمونه‌های S_{10-40-S80} و S_{10-40-S21} شکست پیونکشیدگی اتفاق افتاد، این دو نمونه، مشابه نمونه‌ی بدون آرماتور جانبی و صله S_{10-40-NC} بود و فقط در آنها از آرماتور جانبی و صله استفاده شده است. در این دو نمونه، یک ترک عریض در قسمت انتهایی و صله ایجاد شد (شکل ۳). بنا بر این می‌توان نتیجه گرفت که در نمونه‌های مسلح به آرماتورهای ماسه‌پاشی شده به قطر ۱۰ میلی‌متر، حضور آرماتور جانبی و صله باعث تغییر حالت شکفت از شکافت بتن به پیونکشیدگی آرماتور شده است.

۲.۳. مقاومت پیوستگی

مقاومت پیوستگی را می‌توان با استفاده از تنش ایجادشده در آرماتور تعیین کرد. تنش آرماتور را می‌توان براساس روابط کشسان-خمیری مقاطع خمشی بتن مسلح بدست آورد. پژوهشگران مختلف قبل این مسئله را استفاده و توصیه کردند.^[۱۰,۱۱]

$$f_s = \frac{M}{A_b j d} \quad (1)$$

در رابطه‌ی ۱، M لنگر نهایی شکست و برابر با $\frac{1}{2} A_b P_{test}$ سطح مقاطع کل آرماتورهای کششی وصله شده بر حسب میلی‌متر مربع؛ j ضربت بازوی لنگر مقاوم؛ d عمق مؤثر؛ P_{test} بار نهایی شکست است.

برای محاسبه‌ی میانگین تنش پیوستگی (u_{test}) نیروی کلی به وجود آمده در آرماتور (A_b × f_s) FRP برسطح تماس آرماتور با بتن در طول وصله (L) ($\pi \times d_b \times L$) به صورت رابطه‌ی ۲ تقسیم می‌شود:

$$u_{test} = \frac{A_b f_s}{\pi d_b L} \quad (2)$$

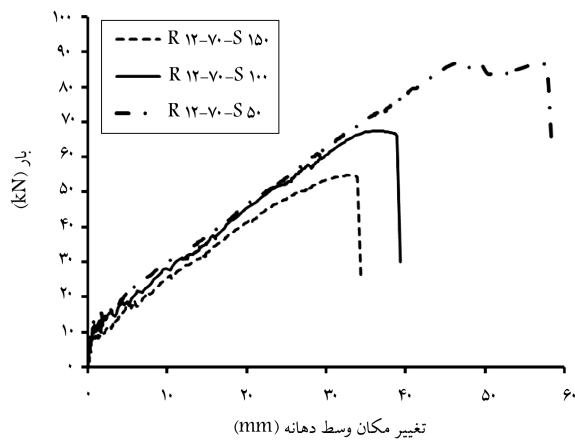
در این رابطه، f_s تنش آرماتور بر حسب MPa است که از طریق رابطه‌ی ۱ تعیین می‌شود؛ d_b قطر آرماتور طولی بر حسب mm؛ L طول وصله بر حسب mm است. مقادیر تنش ایجادشده در آرماتور (f_s) و تنش پیوستگی محاسبه شده با کمک رابطه‌ی ۲ (u_{test}) به ترتیب در ستون‌های ۶ و ۷ در جدول ۲ ارائه شده‌اند. همان‌طور

جدول ۲. نتایج آزمایش.

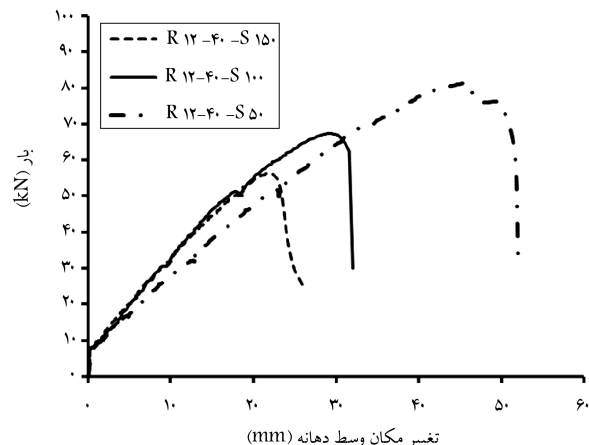
۱ نمونه	۲ نوع آرماتور	۳ f'_c (MPa)	۴ شكل شکست	۵ P_{test} (kN)	۶ f_s (MPa)	۷ u_{test} (MPa)	۸ Δ_y (mm)	۹ $\Delta_{0,85}$ (mm)	۱۰ μ
R ۱۶-۴۰-NC				۳۷,۵۹	۴۳۷,۶۷	۲,۱۸	۱۳,۰	۱۲,۶	۱,۰۵
R ۱۶-۴۰-S ۱۵۰				۵۵,۲۶	۶۴۳,۴۱	۳,۲۰	۲۰,۳	۲۳,۸	۱,۱۷
R ۱۶-۴۰-S ۱۰۰				۷۲,۱۸	۸۴۰,۴۲	۴,۱۸	۲۷,۳	۳۰,۵	۱,۱۲
R ۱۶-۴۰-S ۵۰				۸۹,۴۷	۱۰۴۱,۷۰	۵,۱۸	۳۲,۹	۳۶,۸	۱,۱۲
R ۱۲-۴۰-S ۱۵۰	آج دار			۵۶,۵۱	۶۵۰,۱۸	۴,۳۱	۱۹,۶	۲۲,۵	۱,۲۰
R ۱۲-۴۰-S ۱۰۰		۴۱,۲	Splitting	۶۷,۴۲	۷۷۵,۷۱	۵,۱۴	۲۶,۱	۳۱,۷	۱,۲۱
R ۱۲-۴۰-S ۵۰				۸۱,۵۸	۹۳۸,۶۳	۶,۲۲	۴۱,۶	۵۱,۲	۱,۲۳
R ۱۲-۷۰-S ۱۵۰				۵۴,۸۸	۶۳۱,۴۳	۴,۱۹	۲۹,۸	۳۴,۲	۱,۱۵
R ۱۲-۷۰-S ۱۰۰		۷۲,۰	Splitting	۶۷,۴۱	۷۷۵,۵۹	۵,۱۴	۳۵,۰	۳۹,۲	۱,۱۲
R ۱۲-۷۰-S ۵۰				۸۶,۹۷	۱۰۰۰,۶۰	۶,۶۴	۴۵,۳	۵۸,۱	۱,۲۸
S ۱۰-۴۰-NS		**۳۷,۶	Crushing	۳۲,۶	-	-	۵۲,۸	۶۰,۵	۱,۱۴
S ۱۰-۴-NC	ماسه پاشی شدده	۴۰	Splitting	۳۲,۳۱	۳۸۰,۷۶	۶,۷۳	۲۷,۰	۳۱,۶	۱,۱۷
S ۱۰-۴-S ۸۰		۴۰	Pullout	۳۲,۴۸	۳۸۲,۷۶	۶,۷۷	۳۱,۱	۳۸,۰	۱,۲۲
S ۱۰-۴-S ۲۱		۳۸	Pullout	۳۴,۹۶	۴۱۱,۹۹	۷,۲۹	۵۱,۱	۶۳,۰	۱,۲۴
S ۱۶-۴-S ۵۰		۳۸	Splitting	۳۴,۱۱	۴۰۹,۴۱	۳,۰۲	۲۰,۸	۳۰,۰	۱,۴۴

* مقاومت پیوستگی بتن به طور متوسط ۴۱ مگاپاسکال در نظر گرفته می شود.

** مقاومت پیوستگی بتن به طور متوسط ۳۸ مگاپاسکال در نظر گرفته می شود.



شکل ۶. نمودار بار - تغییر مکان وسط دهانه نمونه های: R ۱۲-۷۰-S ۱۰۰، R ۱۲-۴۰-S ۵۰ و R ۱۲-۷۰-S ۱۵۰

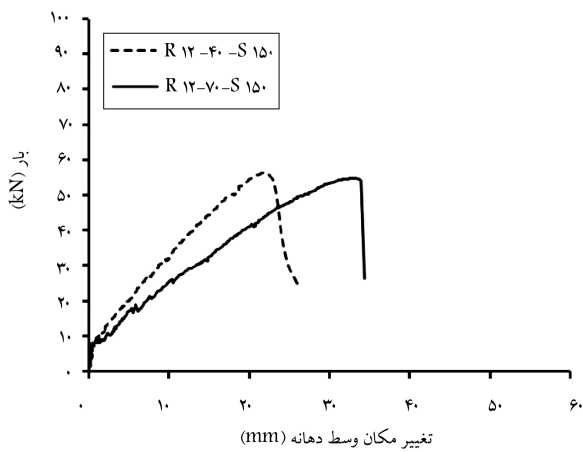


شکل ۵. نمودار بار - تغییر مکان نمونه های: R ۱۲-۴۰-S ۵۰، R ۱۲-۴۰-S ۱۰۰، R ۱۲-۴۰-S ۱۵۰ و R ۱۲-۴۰-S ۱۵۰

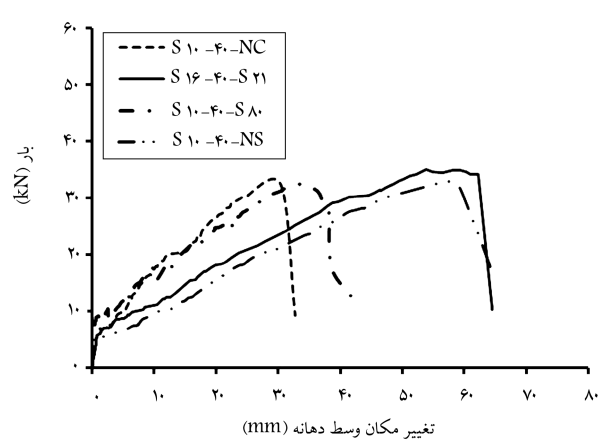
۴.۳. اثر مقاومت بتن

پژوهشگران با انجام آزمایش های بیرون کشیدگی مستقیم بر روی نمونه های با طول آرماتورهای آج دار باعث افزایش مقاومت پیوستگی و در آرماتورهای ماسه پاشی شده تغییری در مقاومت پیوستگی وصله ایجاد نمی کند. براساس پژوهش های انجام شده اثر آرماتور جانبی وصله در مقاومت پیوستگی بین بتن و آرماتور FRP ندارد.^[۶] اثر مقاومت بتن در تأثیری در مقاومت پیوستگی بین آج دار و آرماتور جانبی وصله در آرماتورهای FRP ندارد.^[۷] اثر آرماتور جانبی وصله در مقاومت پیوستگی بین آج دار و آرماتور جانبی وصله در آرماتورهای فولادی به سطح نسبی آج آرماتورها بستگی دارد به طوری که اثر آرماتور جانبی وصله در آرماتورهای فولادی با سطح نسبی آج زیاد بیشتر از اثر آنها در آرماتورهای فولادی با سطح نسبی آج کم است.^[۸]

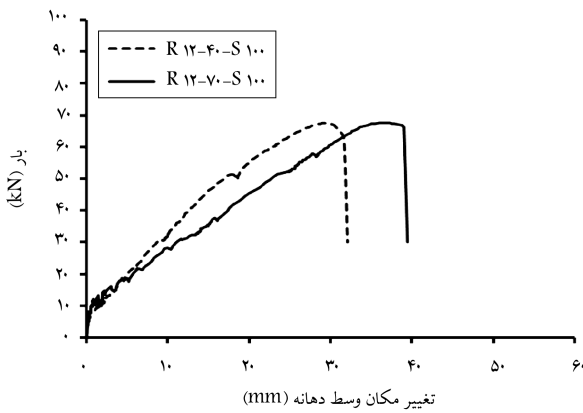
سطح ظاهری آرماتور است. به طوری که کاهش فاصله ای آرماتورهای جانبی وصله در آرماتورهای آج دار باعث افزایش مقاومت پیوستگی و در آرماتورهای ماسه پاشی شده تغییری در مقاومت پیوستگی وصله ایجاد نمی کند. براساس پژوهش های انجام شده اثر آرماتور جانبی وصله در مقاومت پیوستگی بین بتن و آرماتور فولادی به سطح نسبی آج آرماتورها بستگی دارد به طوری که اثر آرماتور جانبی وصله در آرماتورهای فولادی با سطح نسبی آج زیاد بیشتر از اثر آنها در آرماتورهای فولادی با سطح نسبی آج کم است.^[۸]



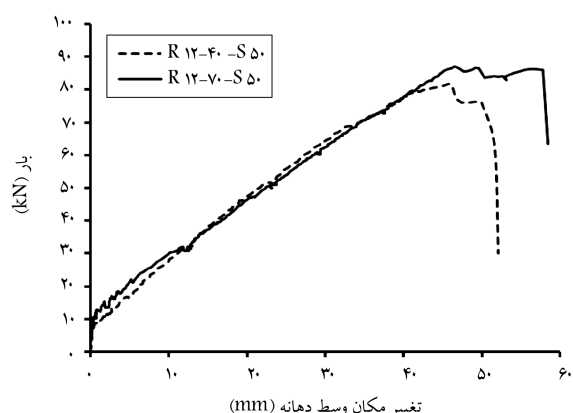
شکل ۸. نمودار بار - تغییر مکان وسط دهانه: R12-۴۰-S1۵۰، R12-۷۰-S1۵۰



شکل ۷. نمودار بار - تغییر مکان نمونه های: S10-۴۰-NC، S10-۴۰-S21، S10-۴۰-S80 و S10-۴۰-NS



شکل ۹. نمودار بار - تغییر مکان نمونه های: R12-۴۰-S1۰۰، R12-۷۰-S1۰۰



شکل ۱۰. نمودار بار - تغییر مکان نمونه های: R12-۴۰-S5۰، R12-۷۰-S5۰

گرفت که در صورت کاهش فاصله ای آرماتورهای جانبی (به مقدار ۵۰ میلی متر) نمونه های با قطع بیشتر از خود رفتار سخت تری نشان می دهند.

۶.۳. شکل پذیری نمونه ها

برای بررسی شکل پذیری نمونه های آزمایش شده در این برنامه ای آزمایشگاهی از شاخص شکل پذیری کوهن و بارلت^[۱۲] استفاده شد. آنها برای بررسی شکل پذیری در

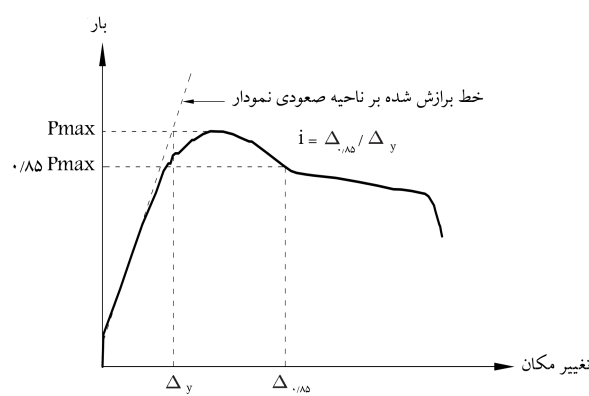
کرد. نمودار بار - تغییر مکان این نمونه ها به ترتیب در شکل های ۸ الی ۱۰ و بار نهایی و مقاومت پیوستگی این نمونه ها در جدول ۲ ارائه شده است. در این جدول مقدار بار نهایی هر یک از نمونه های R12-۴۰-S1۵۰ و R12-۷۰-S1۵۰ و R12-۴۰-S5۱ و R12-۷۰-S5۱ کیلونیوت در نمونه های R12-۷۰-S1۰۰ و R12-۴۰-S1۰۰ و R12-۴۰-S5۶ و R12-۷۰-S5۶ کیلونیوت و در نمونه های R12-۴۰-S5۰ و R12-۷۰-S5۰ به ترتیب مقادیر ۵۶/۸۸ و ۶۷/۴۲ کیلونیوت به دست آمده است. همان طور که ملاحظه می شود، مشابه یافته های محققان^[۱۳] مقاومت بتون تأثیر قابل ملاحظه بی در مقاومت پیوستگی و بار نهایی تیرهای بتون آرمه دار وصله دار مسلح به آرماتورهای آج دار ندارد.

۶.۴. اثر قطر آرماتور

اثر قطر آرماتور در مقاومت پیوستگی را می توان با مقایسه نمودار بار - تغییر مکان و مقاومت پیوستگی نمونه های R12-۴۰-S1۵۰، R12-۴۰-S5۰ و R16-۴۰-S1۰۰، R12-۴۰-S1۰۰، R16-۴۰-S5۰ و R12-۴۰-S5۰ در جدول ۲ ارائه شده است. در شکل های ۱۱ الی ۱۳ و بار نهایی و مقاومت پیوستگی این نمونه ها در جدول ۲ ارائه شده است. با توجه به این نمودارها و مقایسه بار نهایی ارائه شده در ستون ۵ جدول ۲، می توان نتیجه گرفت که قطر آرماتور تأثیری در بار نهایی نمونه های تیری و وصله دار ندارد.

در جدول ۲، مقاومت پیوستگی این نمونه ها به ترتیب مقادیر (۳/۲۰، ۴/۳۱ و ۱۴/۱۸، ۵/۲۲) و (۵/۱۸، ۶/۲۲) به دست آمده است. ملاحظه می شود با افزایش قطر آرماتور، مقاومت پیوستگی نمونه ها کاهش پیدا کرده است. این رفتار در نمونه های پیرونکشیدگی برخی پژوهشگران^[۱۴] نیز مشاهده شد. در شکل ۱۱ ملاحظه می شود که رفتار بار - تغییر مکان نمونه های R12-۴۰-S5۰ و R16-۴۰-S5۰ که به ترتیب از آرماتورهایی به قطرهای ۱۲ و ۱۶ میلی متر ساخته شده اند، مشابه یکدیگر هستند. این مطلب در شکل ۱۲ برای نمونه های R12-۴۰-S1۰۰ و R16-۴۰-S1۰۰ نیز صادق است.

در شکل ۱۳ نمودار بار - تغییر مکان نمونه های R12-۴۰-S5۰ و R16-۴۰-S5۰ با یکدیگر مقایسه و ملاحظه شد نمونه های R16-۴۰-S5۰ از خود رفتار سخت تری نسبت به نمونه های R12-۴۰-S5۰ نشان می دهد. با توجه به این مطلب می توان نتیجه



شکل ۱۴. پارامترهای مورد استفاده در شاخص شکل پذیری گوهن و بارلت.^[۱۲]

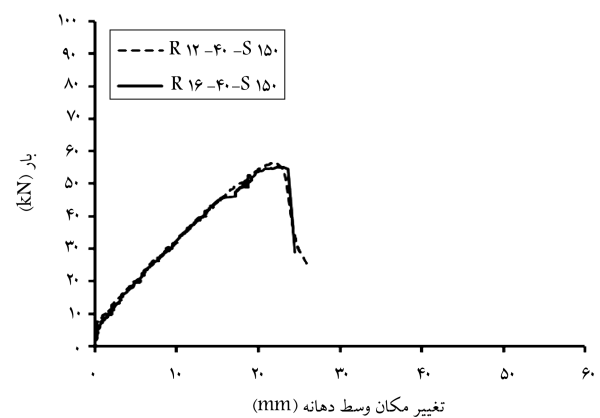
بر ناحیه‌ی صعودی منحنی بار - تغییرمکان برازش داده می‌شود. این خط تقریباً نشان‌دهنده‌ی رفتار کشسانی است. تغییرمکان متناظر با بیشینه‌ی نیروی آزمایش روی خط مذکور، مقدار $\mu \Delta_y$ را مشخص می‌کند. در جدول ۲، مقادیر μ , Δ_y , $\Delta_{1.85}$ و شاخص شکل پذیری هر یک از نمونه‌ها ارائه شده است.

رفتار سازه‌های مسلح شده با آرماتورهای پلیمری الیافی (FRP) با سازه‌های مسلح شده با آرماتورهای فولادی متفاوت است. منحنی تنش - کرنش آرماتورهای FRP برخلاف آرماتورهای فولادی تا لحظه‌ی گسیختگی به صورت خطی است که باعث کاهش شکل پذیری تیرهای مسلح شده با آرماتورهای FRP می‌شود. این مطلب در مورد نمونه‌ی بدون وصله NS ۱۰۰-۴۰-NC مصدق است. نمودار بار - تغییرمکان نمونه‌ی بدون وصله NS ۱۰۰-۴۰-NS در شکل ۷ نشان داده شده است. در ستون ۱۰ در جدول ۲، شاخص شکل پذیری این نمونه ۱/۱۴ به دست آمده است. ملاحظه می‌شود که شکست این نمونه به صورت ترد و آنی است.

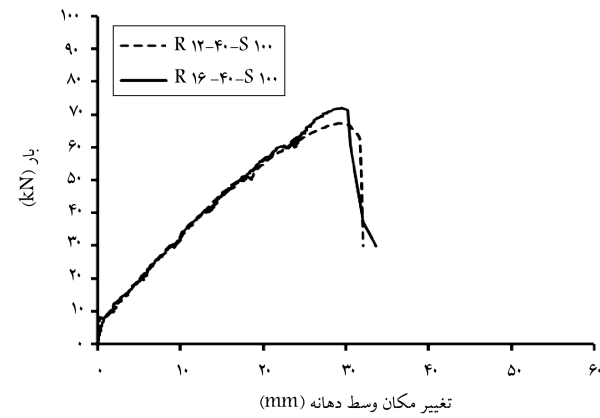
همان‌طورکه قبلاً بیان شد، نمونه‌های NC ۱۶-۴۰-NC و S ۱۰۰-۴۰-NC فاقد آرماتور جانبی وصله است و از آنها برای مقایسه‌ی شاخص شکل پذیری نمونه‌های فاقد آرماتور جانبی وصله و نمونه‌های دارای آرماتور جانبی وصله استفاده خواهد شد. با توجه به ستون‌های ۸ و ۹ در جدول ۲ مشاهده می‌شود که در این دو نمونه مقادیر μ , Δ_y و $\Delta_{1.85}$ نزدیک به یکدیگرند و شاخص شکل پذیری این تیرها به ترتیب برابر ۱/۰۵ و ۱/۱۷ شده است. این بدان معنی است که این نمونه‌ها شکل پذیر نیستند و شکست آنها به صورت ترد و آنی است. در شکل‌های ۴ و ۷ منحنی بار - تغییرمکان این نمونه‌ها ارائه شده است. همان‌طور که ملاحظه می‌شود، بعد از نقطه‌ی بیشینه، منحنی‌ها با شیب تندی افت کردند.

شاخص شکل پذیری کلیه‌ی نمونه‌های آج دار در ستون ۱۰ جدول ۲ ارائه شده است. به کمک جدول ۲ و شکل‌های ۴ الی ۶ می‌توان نتیجه گرفت که حضور آرماتور جانبی وصله در آرماتورهای آج دار تغییر چندانی در شکل پذیری ایجاد نمی‌کند. همان‌طور که در این شکل‌ها مشخص است، پس از نقطه‌ی اوج منحنی بار - تغییرمکان، در همه‌ی نمونه‌ها (حتی در نمونه‌های با فاصله‌ی آرماتور جانبی ۵۰ میلی‌متر) منحنی با شیب تندی افت کرده است.

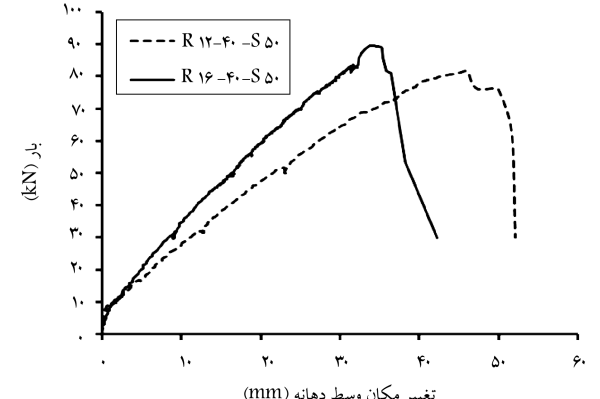
در شکل ۷، نمودارهای بار - تغییرمکان نمونه‌های مسلح به آرماتورهای ماسه‌پاشی شده در مقایسه با نمونه‌ی بدون وصله نشان داده شده است. علاوه بر این، شاخص شکل پذیری این نمونه‌ها در ستون ۱۰ جدول ۲ ارائه شده است. با توجه به شکل ۷ ملاحظه می‌شود که رفتار نمونه‌ی بدون آرماتور جانبی وصله NC ۱۰۰-۴۰-NC و نمونه‌ی دارای آرماتور جانبی وصله با فاصله‌ی آرماتورهای جانبی ۸۰ میلی‌متر S ۱۰۰-۴۰-S ۸۰ تقریباً مشابه یکدیگر هستند. در ستون ۱۰ جدول ۲، شاخص



شکل ۱۱. نمودار بار - تغییرمکان نمونه‌های: R ۱۲-۴۰-S ۱۵۰, R ۱۶-۴۰-S ۱۵۰.



شکل ۱۲. نمودار بار - تغییرمکان نمونه‌های: R ۱۲-۴۰-S ۱۰۰, R ۱۶-۴۰-S ۱۰۰.



شکل ۱۳. نمودار بار - تغییرمکان نمونه‌های: R ۱۲-۴۰-S ۵۰, R ۱۶-۴۰-S ۵۰.

تیرها، یک شاخص شکل پذیری تغییرمکانی پیشنهاد کردند. در این روش، شاخص شکل پذیری تیر از رابطه‌ی ۳ محاسبه می‌شود. در این تعریف، نسبت تغییرمکان متناظر با نیروی بیشینه (روی شاخه نزولی منحنی بار - تغییرمکان) به تغییرمکان متناظر با نیروی بیشینه (حد رفتار کشسانی) به عنوان شاخص شکل پذیری معرفی شده است.

$$\mu = \frac{\Delta_{1.85}}{\Delta_y} \quad (3)$$

شکل ۱۴، نحوه‌ی تعیین پارامترهای رابطه‌ی ۳ را نشان می‌دهد. همان‌طور که در این شکل نشان داده شده است، برای محاسبه‌ی μ در رابطه‌ی ۳، ابتدا خطی

است. با این حال، هیچ یک از نمونه‌ها شکل‌پذیری قابل قبولی از خود نشان نمی‌دهند.

۴. مقایسه‌ی نتایج آزمایش با روابط موجود

از آنجاکه خصوصیات آرماتورهای FRP با آرماتورهای فولادی کاملاً متفاوت است، از روابط مربوط به پیوستگی آرماتورهای فولادی نمی‌توان برای طراحی وصله‌ی آرماتورهای FRP استفاده کرد.^[۱۲] محققان از روشی مشابه آنچه قبلًا برای آرماتورهای فولادی استفاده شده بود،^[۱۳] رابطه‌ی برای محاسبه‌ی تنش پیوستگی میانگین در آرماتورهای GFRP ارائه کردند.^[۱۴] در این رابطه از اثر آرماتور جانبی وصله صرف‌نظرشده و فقط اثر دورگیری ناشی از پوشش بتن وارد محاسبات شده است. این رابطه^[۱۵] اساس رابطه‌ی پیشنهادی ACI ۴۴۰، R-۰۶ است:

$$\frac{u}{\sqrt{f'_c}} = \frac{C}{L} + \frac{d_b}{0,83} + \frac{0,25}{d_b} + 0,025 \quad (4)$$

در این رابطه، f'_c مقاومت فشاری بتن بر حسب مگاپاسکال؛ C کمترین فاصله‌ی بین پوشش جانبی تا مرکز آرماتور پوشش تحتانی تا مرکز آرماتور و نصف فاصله‌ی بین آرماتورهای وصله شده بر حسب میلی‌متر و L طول پیوستگی بین بتن و آرماتور بر حسب میلی‌متر است.

آینه‌نامه‌ی CAN/CSA-S80-۶۰-۰۲^[۱۶] برای تعیین مقاومت پیوستگی بین آرماتورهای FRP و بتن، رابطه‌ی ۵ را پیشنهاد کرده است. در این رابطه، اثر نوع بتن، اندازه‌ی آرماتور، نوع الیاف و مشخصات سطح ظاهری آرماتور وارد محاسبات شده است:

$$u = \frac{d_{cs} \sqrt{f'}}{\pi d_b} \quad (5)$$

در این رابطه، k_1 ضریب اثر موقعیت قرارگیری آرماتور در مقطع عرضی؛ k_2 ضریب اثر چگالی بتن؛ k_3 ضریب اثر اندازه‌ی آرماتور؛ k_4 ضریب اثر نوع الیاف؛ k_5 ضریب اثر سطح ظاهری آرماتور؛ d_{cs} کمترین فاصله‌ی بین سطح خارجی بتن تا مرکز آرماتور و دو سوم فاصله‌ی مرکز تا مرکز آرماتورهای وصله شده است، و نباید از $2/5$ برابر d_b بیشتر شود.

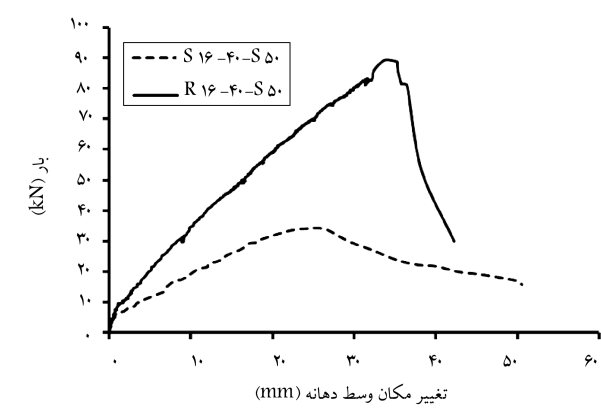
۴. نمونه‌های بدون آرماتور جانبی وصله

در ستون ۴ جدول ۳، میانگین و انحراف معیار نسبت مقاومت پیوستگی آزمایشگاهی به مقاومت پیوستگی محاسبه شده با کمک رابطه‌ی ۴ ($u_{test}/u_{(2)}$) برای نمونه‌های بدون آرماتور جانبی وصله‌ی موزلی و همکاران،^[۱۷] هراجلی و ابونیاج،^[۱۸] آلی^[۱۹] و نویسنده‌گان به ترتیب مقادیر ۷۶، ۷۶، ۵۰، ۵۰، ۵۰، ۵۰، ۵۰، ۵۰ و ۵۰، ۵۰، ۵۰، ۵۰ به دست آمده است. همان‌طور که ملاحظه می‌شود، در همه‌ی موارد، رابطه‌ی CAN/CSA-S80-۶۰-۰۲^[۱۶] مقدار مقاومت پیوستگی نمونه‌های بدون آرماتور جانبی وصله را دست بالاترخین می‌زند. به طوری که در برخی نمونه‌های آزمایشگاهی (هراجلی و ابونیاج^[۲۰]) مقدار میانگین مقاومت پیوستگی محاسبه شده حدود دو برابر مقدار میانگین آزمایشگاهی است.

نتایج مقایسه‌ی رابطه‌ی CAN/CSA-S80-۶۰-۰۲^[۱۶] و نتایج آزمایش موجود برای نمونه‌های بدون آرماتور جانبی وصله در ستون ۵ جدول ۳ ارائه شده است. مقدار میانگین و انحراف معیار نسبت $u_{test}/u_{(2)}$ برای نمونه‌های بدون آرماتور جانبی وصله‌ی موزلی و همکاران،^[۱۷] هراجلی و ابونیاج،^[۱۸] آلی^[۱۹] و نویسنده‌گان به ترتیب

شکل‌پذیری این دو نمونه به ترتیب ۱,۱۷ و ۱,۲۲ به دست آمده است. این مطلب نشان می‌دهد که در این نمونه‌ها حضور آرماتور جانبی وصله به فاصله‌ی زیاد، تأثیر چندانی در رفتار بار - تغییرمکان ندارد و فقط به مقدار ناچیزی سبب افزایش شکل‌پذیری می‌شود. این نمونه‌ها نسبت به نمونه‌ی بدون وصله NS S1۰-۴۰ است. نمونه‌ی شکل‌پذیری (۱,۱۴) در شکل‌پذیرتر هستند. لیکن رفتار این نمونه‌ها ترد است و ضوابط کلی شکل‌پذیری برآورده نمی‌شود. از طرف دیگر در شکل ۷ ملاحظه می‌شود که نمونه‌ی S1۰-۴۰-S2۱ دارای رفتاری مشابه نمونه‌ی بدون وصله NS S1۰-۴۰ است. نمونه‌ی شکل‌پذیری (۱,۲۴) در این رفتاری آرماتور جانبی وصله به فاصله‌ی ۲۱ میلی‌متر است. شاخص شکل‌پذیری این نمونه به ۱,۲۴ به دست آمده است. بنابراین می‌توان نتیجه گرفت که با کاهش فاصله‌ی آرماتورهای جانبی به میزان ۲۱ میلی‌متر، رفتار بار - تغییرمکان نمونه‌های ساخته شده از آرماتورهای جانبی می‌باشد. مشابه رفتار نمونه‌ی بدون وصله می‌شود. با این حال مقایسه‌ی شاخص شکل‌پذیری نمونه‌های مسلح به آرماتورهای ماسه‌پاشی شده نشان می‌دهد که حضور آرماتور جانبی تأثیر قابل ملاحظه‌ی در شکل‌پذیری نمونه‌ها ندارد. نکته‌ی قابل توجه در خصوص نمونه‌های ساخته شده از آرماتورهای ماسه‌پاشی شده این است که شاخص شکل‌پذیری نمونه‌های وصله‌دار نسبت به شاخص شکل‌پذیری نمونه‌های بدون وصله بیشتر است. همان‌طور که در شکل ۳ و جدول ۲ نشان داده شده است، شکل شکست در نمونه‌ی بدون آرماتور جانبی وصله NC S1۰-۴۰ از نوع شکافت و در نمونه‌های S1۰-۴۰-S2۱ از نوع بیرون‌کشیدگی است. در نمونه‌های دارای شکل شکست بیرون‌کشیدگی لغزش آرماتور از درون بتن باعث وجود آمدن اصطکاک بین آرماتور و بتن می‌شود و این امر سبب جذب انرژی همراه با افزایش تغییرمکان در تیر می‌شود که نشان دهنده افزایش شکل‌پذیری نمونه‌هاست. لیکن همان‌طور که اشاره شد، هیچ یک از این نمونه‌ها از خود رفتار شکل‌پذیر مناسبی نشان نمی‌دهند.

تفاوت شکل‌پذیری نمونه‌های ساخته شده از آرماتورهای آج دار و ماسه‌پاشی شده با آرماتور جانبی وصله را می‌توان در شکل ۱۵ با مقایسه‌ی دو نمونه‌ی S1۶-۴۰-S5۰ و R1۶-۴۰-S5۰ بررسی کرد. این دو نمونه به ترتیب از آرماتورهای ماسه‌پاشی شده و آج دار ساخته شده‌اند. طول وصله در نمونه‌ی S1۶-۴۰-S5۰ ۱۸۰ میلی‌متر و در نمونه‌ی R1۶-۴۰-S5۰، مساوی ۴۰۰ میلی‌متر در نظر گرفته شده است. در شکل ۱۵ مشاهده می‌شود که نمونه‌ی ماسه‌پاشی شده علی‌رغم داشتن طول وصله‌ی کمتر نسبت به نمونه‌ی آج دار شکل‌پذیرتر است. شاخص شکل‌پذیری این دو نمونه در جدول ۲ به ترتیب ۱,۱۲ و ۱,۴۴ به دست آمده



شکل ۱۵. نمودار بار - تغییرمکان نمونه‌های: R1۶-۴۰-S5۰، S1۶-۴۰-S5۰.

جدول ۴. مقایسه نتایج آزمایش نمونه‌های با آرماتور جانبی وصله با ضوابط آینه‌نامه‌ی.

(۱)	(۲)	(۳)	(۴)	(۵)
مرجع	Beam No.	سطح ظاهری	$u_{test}/u_{(4)}$	$u_{test}/u_{(5)}$
	6G50-N-A8	SC	0,79	0,65
	G70-N-A96	SC	0,80	0,58
	GA0-N-A106	SC	0,87	0,60
	G110N-A116	SC	0,74	0,46
	G70-L-A256	SC	0,72	0,52
	G70-N-A266	SC	0,80	0,58
	G70-M-A276	SC	0,91	0,65
[۱۲]	G70-N-KW286	SC	0,70	0,67
	G70-N-FX296	SC	0,81	0,77
	G70-N-KX306	SC	0,80	0,58
	G70-N-PX316	SC	0,70	0,50
	G70-N-KY326	SC	0,89	0,64
	G70-N-KY336	SC	0,77	0,55
	میانگین		0,79	0,60
	انحراف معیار		0,07	0,08
	A460-1	Wrapped	0,91	0,67
	A460-2	Wrapped	0,94	0,68
	A540-1	Wrapped	0,85	0,45
	A540-2	Wrapped	0,87	0,60
[۱۰]	B-6750-1	Wrapped	0,82	0,58
	B-6750-2	Wrapped	0,82	0,58
	B-870-1	Wrapped	0,69	0,45
	B-870-2	Wrapped	0,75	0,49
	میانگین		0,81	0,56
	انحراف معیار		0,10	0,09
[۲]	R1/25L20-C	Grooved	0,75	1,00
	T1/25L20-C	Th-W	0,35	0,45
	T2L20-C	Th-W	0,42	0,36
	میانگین		0,51	0,60
	انحراف معیار		0,21	0,35
	R16-40-S150	Ribbed	0,72	1,15
	R16-40-S100	Ribbed	0,94	1,50
	R16-40-S50	Ribbed	1,16	1,86
	R12-40-S150	Ribbed	1,11	1,77
	R12-40-S100	Ribbed	1,32	2,11
	R12-40-S50	Ribbed	1,60	2,55
	R12-70-S150	Ribbed	0,81	1,30
	R12-70-S100	Ribbed	1,00	1,59
	R12-70-S50	Ribbed	1,29	2,06
	S10-40-S80	SC	1,24	1,21
	S10-40-S22	SC	1,37	1,33
	S16-40-S55	SC	0,57	0,81
	میانگین		1,09	1,54
	انحراف معیار		0,27	0,46

* SC=Sand Coated, Th-W=Thread Wrapped

جدول ۳. مقایسه نتایج آزمایش نمونه‌های بدون آرماتور جانبی وصله با ضوابط آینه‌نامه‌ی.

(۱)	(۲)	(۳)	(۴)	(۵)
مرجع	Beam No.	سطح ظاهری	$u_{test}/u_{(4)}$	$u_{test}/u_{(5)}$
	B-G1-3	W-SC	0,82	0,72
	B-G2-3	Ribbed	0,78	0,69
	B-A-3	Ribbed	0,88	0,78
	B-A-1	Ribbed	0,89	0,89
	B-A-2	Ribbed	0,65	0,80
[۲]	B-G1-1	W-SC	0,85	0,81
	B-G2-1	Ribbed	0,73	0,69
	B-G1-2	W-SC	0,60	0,71
	B-G2-2	Ribbed	0,64	0,79
	میانگین		0,76	0,76
	انحراف معیار		0,11	0,07
	R1/25L15	Ribbed	0,55	0,88
	R1/25L20	Ribbed	0,58	0,80
	R2L15	Ribbed	0,55	0,63
	R2L20	Ribbed	0,65	0,64
	R1/25L30	Ribbed	0,48	0,54
[۳]	T1/25L15	Th-W	0,53	0,66
	T1/25L20	Th-W	0,31	0,38
	T2L15	Th-W	0,50	0,44
	T2L20	Th-W	0,32	0,28
	میانگین		0,50	0,58
	انحراف معیار		0,11	0,19
[۱۲]	6G70-z-A23	SC	0,62	0,45
	6G70-z-A22	SC	0,58	0,41
	میانگین		0,60	0,43
	انحراف معیار		0,11	0,19
	R16-40-NC	Ribbed	0,49	0,78
	S10-40-NC	SC	1,23	1,2
نویسنده‌گان	میانگین		0,86	0,99
	انحراف معیار		0,52	0,29

* W-SC=Wrapped — Sand Coated, SC=Sand Coated,

Th-W=Thread Wrapped

مقادیر (۷۶, ۷۰, ۵۸, ۹۹, ۳۰, ۴۳, ۰, ۲۹, ۰, ۱۹, ۰) به دست آمده است. همان‌طور که ملاحظه می‌شود، رابطه‌ی

CAN/CSA-SA806-02 مقدار مقاومت پوستگی نمونه‌های بدون آرماتور جانبی وصله را دست بالا در برخی موارد (نتایج این نوشتار) با پراکندگی زیاد تخمین می‌زند.

۲.۴ نمونه‌های دارای آرماتور جانبی وصله

درستون ۴ جدول ۴، مقدار میانگین و انحراف معیار نسبت $u_{test}/u_{(4)}$ برای نمونه‌های دارای آرماتور جانبی وصله‌ی آلی، [۱۲] تیارت و همکاران، [۱۰] هراجلی و ابونیاج [۲]

باعت افزایش مقاومت پیوستگی می‌شود و در تیرهای مسلح به آرماتورهای ماسه باشی شده تغییر قابل توجهی در مقاومت پیوستگی ایجاد نمی‌کند.

۲. آرماتور جانی و صله در نمونه‌های ساخته شده از آرماتورهای ماسه باشی شده باعث تغییر شکل شکست از حالت شکافت به بیرون کشیدگی می‌شود. در نمونه‌های دارای شکل شکست بیرون کشیدگی، لغزش آرماتورها از درون بن باعث افزایش شکل پذیری نسبت به نمونه‌ی بدون صله می‌شود. در نمونه‌های آج دار حضور آرماتور جانی و صله باعث محدود شدن ترک‌های شکافت به قسمت تحتانی تیر می‌شود.

۳. ضوابط آینن‌نامه‌ی CAN/CSA-S80-۶-۰^۱ و ACI ۴۴۰, ۱R-۰۶ یک برآورد منطقی از مقاومت پیوستگی نمونه‌های تیری و صله دار ارائه نمی‌کنند. به طوری که نتایج محاسباتی حاصل از ضوابط آینن‌نامه‌ی در نمونه‌های بدون آرماتور جانی و صله، دست بالا و در نمونه‌های دارای آرماتور جانی و صله بسته به مشخصات سطح ظاهری آرماتور دست بالا با دست پایین برآورد می‌شوند.

تقدیر و تشکر

بخشی از هزینه‌های این طرح توسط شرکت فرآورده‌های سیمان شرق مشهد تأمین شده است. نویسنده‌گان از همکاری صمیمانه‌ی مدیریت این شرکت، مسئول کنترل کیفیت بن، قدردانی می‌کنند.

و نویسنده‌گان به ترتیب مقادیر ۷۹, ۵۱, ۵۰, ۰۷, ۰, ۱۰, ۰, ۰, ۰۱ و R-۰۵, ۰, ۲۷, ۱, ۰, ۰^۲) به دست آمده است. همان‌طور که ملاحظه می‌شود، رابطه‌ی ACI ۴۴۰, ۱R-۰۶^۳ مقدار مقاومت پیوستگی نمونه‌های آج دار (نتایج این نوشتار) را با پراکنده‌گی زیاد و سایر نمونه‌ها را (آلی،^۴ تیقارت و همکاران،^۵ هرجلی و ابونیاج^۶)، دست بالا تخمین می‌زند.

در ستون ۵ جدول ۴، مقدار میانگین و انحراف معیار نسبت ($u_{test}/u_{(5)}$) برای نمونه‌های دارای آرماتور جانی و صله‌ی آلی^۷, تیقارت و همکاران،^۸ هرجلی و ابونیاج^۹ و نویسنده‌گان به ترتیب مقادیر ۵۶, ۰, ۰۸, ۰, ۰۵۶^{۱۰}, ۰, ۰۵, ۰, ۰۶۰^{۱۱}, ۰, ۰۴, ۰, ۰۵۴^{۱۲}) به دست آمده است. همان‌طور که ملاحظه می‌شود، رابطه‌ی CAN/CSA-S80-۶-۰^{۱۳} بسته به مشخصات سطح ظاهری آرماتور (مشخصات سطح ظاهری هر یک از نمونه‌ها در ستون ۳ جدول ۴ ارائه شده است)، مقدار مقاومت پیوستگی نمونه‌های دارای آرماتور جانی و صله را دست بالا (آلی،^{۱۴} تیقارت و همکاران،^{۱۵} هرجلی و ابونیاج^{۱۶}) یا دست پایین با پراکنده‌گی زیاد (نمونه‌های این نوشتار) تخمین می‌زنند.

با توجه به آنچه بیان شد، می‌توان نتیجه‌گرفت که روابط ACI ۴۴۰, ۱R-۰۶^{۱۷} و CAN/CSA-S80-۶-۰^{۱۸} در هر دو حالت نمونه‌های بدون آرماتور جانی و صله و دارای آرماتور جانی و صله، مقاومت پیوستگی بین بن و آرماتور را در نمونه‌های تیری و صله دار به خوبی پیش‌بینی نمی‌کند. بنابراین برای استفاده از آرماتورهای FRP در تیرهای بن آرمه‌ی و صله دار باید روابط طراحی جدیدی برای آنها ارائه شود. یکی از ساده‌ترین روش‌ها، اصلاح روابط آینن‌نامه‌ی سازه‌های مسلح فولادی برای FRP است.^{۱۹}

فهرست علائم

- A_f : سطح مقطع یک آرماتور کششی و صله شده؛
- C_x : پوشش جانی آرماتور؛
- C_y : پوشش تحتانی آرماتور؛
- C_s : فاصله‌ی دو آرماتور طولی و صله شده؛
- E_{frp} : مدول کشسانی آرماتور FRP؛
- E_s : مدول کشسانی فولاد؛
- f_u : مقاومت نهایی آرماتور کششی؛
- S : فاصله‌ی آرماتورهای جانی و صله؛
- u_{test} : مقاومت پیوستگی آزمایشگاهی؛
- Δ : تغییر مکان متناظر با ۸۵٪ نیروی بیشینه روی شاخه‌ی نزولی منحنی بار - تغییر مکان؛
- Δ : تغییر مکان متناظر با نیروی بیشینه روی خط برآذش شده بر ناحیه‌ی صعودی منحنی بار - تغییر مکان.

۵. نتیجه‌گیری

این برنامه‌ی آزمایشگاهی با هدف بررسی اثر پارامترهای مهم مؤثر در رفتار پیوستگی آرماتورهای GFRP مانند: آرماتور جانی و صله، قطر آرماتور، مقاومت فشاری بتن و مشخصات سطح ظاهری آرماتور انجام شده است. در بخش آزمایشگاهی این پژوهش، ۱۵ نمونه‌ی تیری و صله دار مسلح به آرماتورهای GFRP ساخته و آزمایش شد. به کمک این نتایج و نتایج آزمایش‌های سایر پژوهشگران، رابطه‌های موجود در آینن‌نامه‌ی ۲, ۱R-۰۶^{۲۰} و CAN/CSA-S80-۶-۰^{۲۱} و ACI ۴۴۰, ۱R-۰۶^{۲۲} مورد بررسی و ارزیابی قرار گرفت. بر اساس این مطالعه، این نتایج حاصل شد:

۱. تأثیر آرماتور جانی در مقاومت پیوستگی نمونه‌های تیری و صله دار مسلح به آرماتورهای GFRP به مشخصات سطح ظاهری آرماتور وابسته است. به طوری که آرماتور جانی و صله در تیرهای و صله دار مسلح به آرماتورهای آج دار

پانوشت‌ها

1. fiber reinforced polymer rebar
2. glass fiber reinforced polymer

3. ribbed
4. sand coat
5. splitting
6. pull-out
7. load cell

8. data logger
9. linear variable displacement transducer

مراجع (References)

1. Okelo, R. and Yuan, R. "Bond strength of fiber reinforced polymer rebars in normal strength concrete", *Journal of Composites for Construction*, **9**(3), pp. 203-213 (2005).
2. Mosley, C.P., Tureyen, A.K. and Frosch, R.J. "Bond strength of nonmetallic reinforcing bars", *ACI Structural Journal*, **105**(5), pp. 634-642 (2008).
3. Harajli, M. and Aboumaj, M. "Bond performance of GFRP bars in tension: Experimental evaluation and assessment of ACI 440 guidelines", *Journal of Composites for Construction*, **14**(6), pp. 659-668 (2010).
4. American Concrete Institute (ACI)., *Guide for the Design and Construction of Structural Concrete Reinforced with FRP Bars*, ACI 440.1R-06, Farmington Hills, Mich (2006).
5. Achillides, Z. and Pilakoutas, k. "Bond behavior of fiber reinforced polymer bars under direct pullout conditions", *Journal of Composites for Construction*, **8**(2), pp. 173-81 (2004).
6. Aly, R. "Stress along tensile lap-spliced fiber reinforced polymer reinforcing bars in concrete", *Canadian Journal of Civil Engineering*, **34**(9), pp. 1149-1158 (2007).
7. Wambeke, B. and Shield, C. "Development length of glass fiber reinforced polymer bars in concrete", *ACI Structural Journal*, **103**(1), pp. 11-17 (2006).
8. Darwin, D., Tholen, M.L., Idun, E.K. and Zou, J. "Splice strength of high relative rib area reinforcing bars", *ACI Structural Journal*, **93**(1), pp. 95-107 (1996).
9. CAN/CSA S806-02 "Design and construction of building components with fiber reinforced polymers", Canadian Standards Association, Rexdale, Ontario, Canada, 177 p. (2002).
10. Tighiouart, B., Benmokrane, B. and Mukhopadhyaya, P. "Bond strength of glass FRP rebar splices in beams under static loading", *Construction and Building Materials*, **13**(7), pp. 383-392 (1999).
11. Esfahani, M.R. and Kianoush, M.R. "Development/splice length of reinforcing bars", *ACI Structural Journal*, **102**(1), pp. 22-30 (2005).
12. Cohn, M.Z. and Barlett, M. "Computer-simulated flexural tests of partially prestressed concrete sections", *ASCE Journal of Structural Division*, **108**(ST12), pp. 2747-2765 (1982).
13. Orangun, C.O., Jirsa, J.O. and Breen, J.E. "Reevaluation of test data on development length and splices", *ACI JOURNAL, Proceedings*, **74**(3), pp. 114-122 (1977).
14. Aly, R. "Experimental and analytical studies on bond behavior of tensile lap spliced FRP reinforcing bars in concrete", Ph.D Thesis, University of Sherbrook, Canada (2005).
15. Tepfers, R. and De Lorenzis, L. "Bond of FRP reinforcement in concrete", *Journal of Mechanics of Composite Materials*, **39**(4), pp. 447-496 (2003).